

# ロックフィルダム の 材料物性 と 挙動解析 ・ 実測値 の 関連 ( 築堤時, 湛水時 および 地震時 )

電力中央研究所

〇 林 正夫, 藤原義一, 駒田広也

要旨 ロックフィルダム材料の静的, 動的, 材料試験と非線型性・浸水沈下量・動的粘性・立体震動などの有限要素解析の関連について報告する。とくに, 非線型応力-ひずみ関係, 浸水時の収縮沈下ひずみ, 処女応力水準での静的変形係数, 静的を繰り返し弾性率と動的な弾性率, 激震時の応力水準と主要周波数帯域での動的な弾性率, 築堤後の間隙比の分布と動的な弾性率の関係, 動的三軸試験による応力-ひずみ曲線からの動的な粘性係数, 立体的な震動解析における基本振動モードに対する減衰定数の算定, 築堤時, 湛水時および地震時のこれら物性に基く挙動解析, 実測値などとの関連について報告する。今後さらに詳細な検討を進めることにしている。

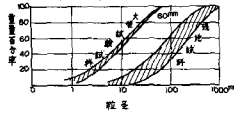


図1 ロック材の粒度加積曲線

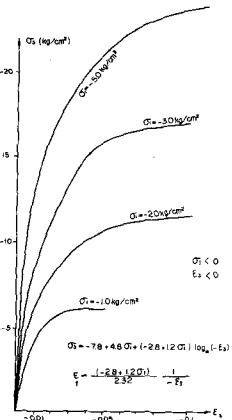


図2 ロック材大型テストの3軸圧縮応力-ひずみ曲線

① ロックフィル材の三軸的応力-ひずみ曲線は図1の現地試料そのものの粒度では大き過ぎ目下は図1の平行粒度の最大粒径60mm程の相似粒度大型試料によって図2, 図3に例示したように求め, 1) 応力とひずみの関係は軸応力  $\sigma_3$ , 側応力  $\sigma_1$ , 軸ひずみ  $\epsilon_3$ , すべて圧縮(-)側において

$$\sigma_3 = A\sigma_1 + (B + C\sigma_1) \log_{10}(-\epsilon_3) \quad \text{kg/cm}^2$$

ここに  $A = 4.8, B = -2.8, C = 1.2$

処女荷重増分に対する変形係数  $D$  は図4のようになり

$$D = \frac{\partial \sigma_3}{\partial \epsilon_3} = \frac{(B + C\sigma_1)}{2.32 \epsilon_3}$$

ポアソン比  $\nu$  は 体積変化率と側応力, 軸ひずみなどから圧縮応力(-)側で

$$\nu = 0.35 - 0.13 \log_{10}(-\sigma_1) - \epsilon_3$$

として築堤挙動解析<sup>2)</sup>に用いた。② コア材については三軸圧縮変形のほかに圧

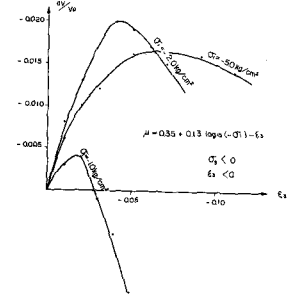


図3 ロック材大型テストの3軸圧縮試験中の  $\Delta V/V_0$

密による硬化, 粗粒分の混入による硬化も変形特性に考慮が必要であった。<sup>2)</sup>

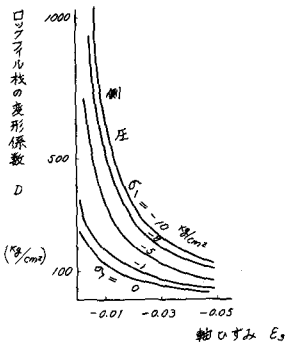


図4 ロックフィル材が先行荷重以上の処女荷重を受ける場合の変形係数(側圧  $\sigma_1$  および軸ひずみ  $\epsilon_3$  の影響)

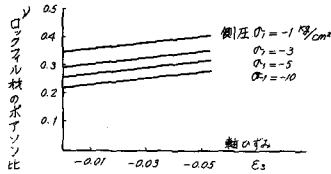


図5 ロックフィル材が先行荷重以上の処女荷重を受ける場合のポアソン比の側圧依存性

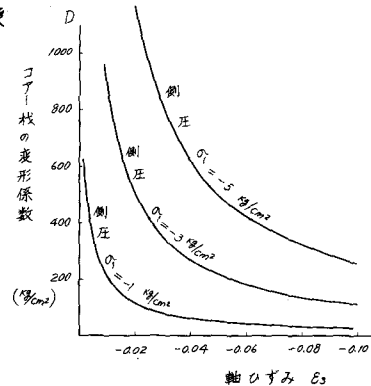


図6 コア材の圧密を考慮に入れた場合のコア材の変形係数の側圧  $\sigma_1$  および軸ひずみ  $\epsilon_3$  などの影響(処女応力の場合)

③ 湛水時は浸水による沈下に対応する歪  $\epsilon_s$  (図10) が逐次湛水(図25)で発生する現象を逐次初期歪として湛水挙動解析にとり入れる必要があることが判った。 $\epsilon_s$ は図7, 図9の試験で, 載荷・浸水・排水……を繰り返すことにより, 含水比  $w$  の間隔比  $c$  の関数として次式であらわした。

$$\epsilon_s = a + b e + c e^2, \quad \text{こゝに } a = -0.082 + 0.007, \quad b = 4.550 - 0.080 w, \\ C = -0.850 + 0.832 w$$

④ 変形係数  $D$  は前述のように処女荷重増分を  $w$  の築堤挙動に対応し, 除荷時の係数  $E$  は図11のように間隔比  $c$  が大きい程,  $D$  と異なり,

$$E/D = a + b e + c e^2 + d e^3$$

こゝに  $a = -31.1, \quad b = 405 \\ c = -1693, \quad d = 2340$  とし,  $E$  は湛水時の上流側口ソクファイル部に適用した。

⑤ 動的三軸変形試験は直径50cm, 高さ50cmの供試体で,

軸差応力  $9.5 \text{ kg/cm}^2$  まで, 軸圧の動的変動  $\sigma_a = \pm 0.5 \text{ kg/cm}^2$ ,

その周波数 0.01~5% まで行った(図12)。周波数が高くなると, 動的弾性率が大きくなり, ヒステリシスが大きくなる

(図13)。これらの特性は振動中の静的  $\sigma$

リープを無視すれば図14のVoigt型の粘弾性モデルで観水表現可能である。 $\epsilon(t) = \frac{\sigma_0}{\left[ \left( \frac{E_1}{E_2} \right)^2 + \omega^2 \right]^{1/2}} \left( \frac{E_1}{E_2} \sin \omega t - \cos \omega t \right)$  図15に静的軸差応力  $(\sigma - \sigma_s)$  の関数として  $E', \gamma'$  の試験結果を示す。ただし, これらの値は詳細には  $\sigma_a$  の大小, 間隔比  $c$  (この場合約0.35) により異なるので, さらに試験を実施している。

⑥ 築堤中の挙動解析は図17の有限要素により5段階の逐次計算により数値解析し, 図18の水平変位ピーク値が堤体内部にあるので斜面は静的に安定な状態にあると診断できる。破壊に近くなる

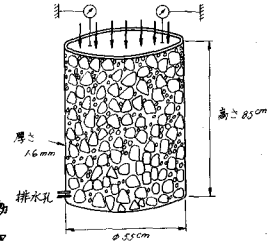


図7 浸水による収縮沈下ひずみの測定

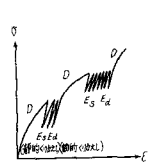


図8 含水比の間隔比と  $\epsilon_s$  の関係

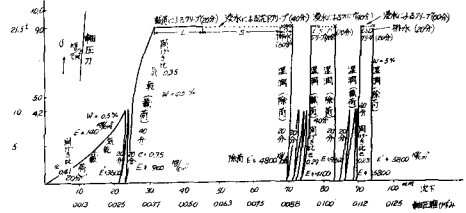


図9 軸圧力と軸圧縮ひずみの関係 (浸水4時/1時)

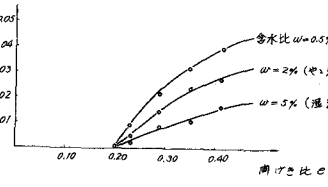


図10 ロックウール粒状体の浸水による収縮沈下ひずみに及ぼす間隔比  $c$  および含水比  $w$  の影響 (岩綿ロックウール材, 最大粒径 0.5mm, 相対湿度 60%)

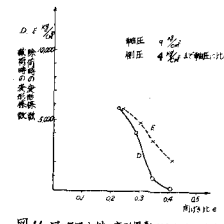


図11 ロックウール材の動的弾性率間隔比  $E'/E$  の関係 (浸水45分)

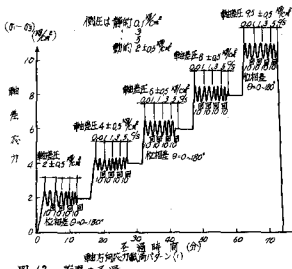


図12 荷重の歪

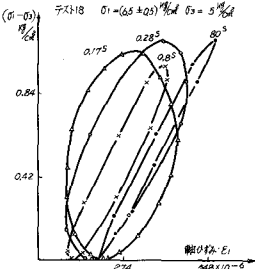


図13 各種の軸圧変動範囲の応力-ひずみの関係の例

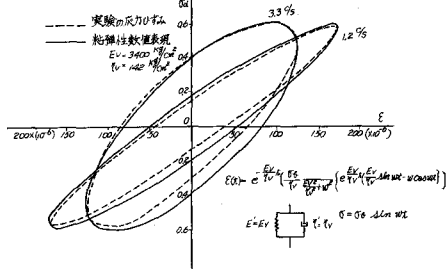


図14 応力-ひずみ曲線と粘弾性数値表現

このピークが表面に移動する。ロックフィルの沈下は図19のように実測<sup>1)</sup>と計算<sup>2)</sup>はながらみている。したがって、①で述べた最大粒径60mmの大型試験程度でも、実際の挙動解析に十分な適用性を有するようになる。

⑦ 図20は築堤終了段階の間隙比 $e$ と $e = e_0 + \Delta e = e_0 + \frac{\Delta V}{V_0} (1 + e_0)$ ,  $\frac{\Delta V}{V_0} = \xi_1 + \xi_2 + \xi_3$ によって求めた分布である。深部は表層に較べて、間隙比が0.05だけ小さく縮まっている。

このことは耐震設計上重要な意味がある。筆者は考えている。すなわち、 $e$ に応じた静的くりに応じヤング率 $E_s$ 、ついで $E_s$ に応じた動的ヤング率 $E_d$ も静的軸応力水準に応じて求めてみると図21のように深部の $E_d$ が約10,000  $\frac{kg}{cm^2}$ に対し、表層は約4,000  $\frac{kg}{cm^2}$ 程度の低い値となっている。この分布は動的応答にかなり影響を与える。今後の耐震設計にあたり定量的に考慮することが望ましいと思われる。

⑧ 図22は築堤終了段階における処女荷重増分に対する変形係数 $D$ の分布を示している。図21は動、図22は静であり、逆の傾向を呈している。深部は、より以上の荷重には降伏し易いが動的には安定で、表層は全く逆である。

⑨ 逐次灌水の荷重成分は図23に示した4つの成分を考慮する必要がある。特記すべきは浸水沈下ひずみであり、湛水中の4ケースの比較計算の条件(表1)の $W_1, W_2$ はこの浸水沈下ひずみを無視した場合であるが、図28のように堤頂の沈下について誤った計算に陥っていることに注意を要する。

⑩ 湛水中は上流側ロックフィルに浮力が加わり、除荷時の変形係数を適用すべき

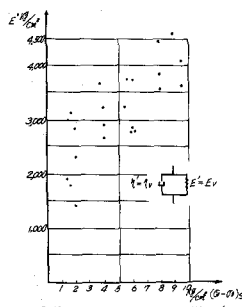


図15 ロックフィルの動的弾性係数 $E_d$  (1.3% 振動率: 0.27/sec)

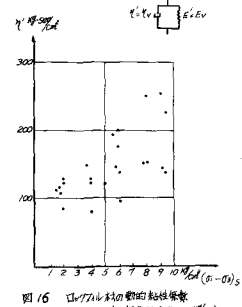


図16 ロックフィルの動的弾性係数 (1.3% 振動率: 0.27/sec)

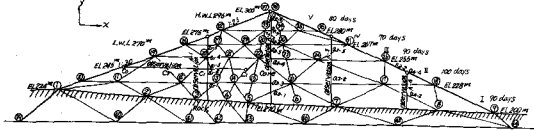


図17 有限要素網と沈下計・水平変位計の配置

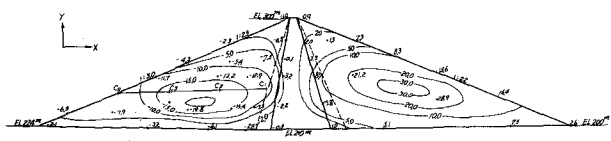


図18 築堤終了段階での水平変位の分布

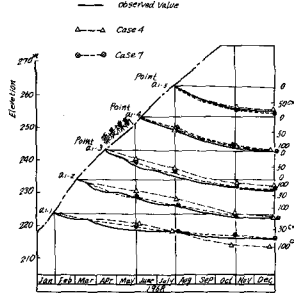


図19 ロックフィルの沈下実測値と計算値



図20 築堤終了時の間隙比 $e$ の分布の計算値

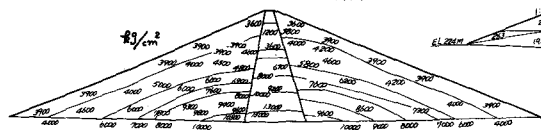


図21 間隙比 $e$ ・動的材試験値を以て基本と地震応答計算に用いるべき動弾性率の分布

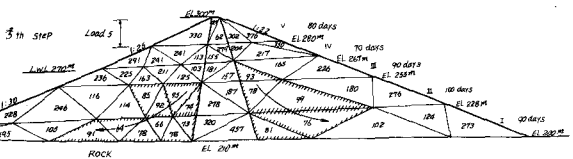


図22 築堤終了段階での処女荷重増分に対する変形係数 $D$ の分布 (kg/cm<sup>2</sup>)

領域に相当する。表1のW<sub>1</sub>はそれを無視した場合であり図25のW<sub>1</sub>のように実測値とは著しく異なる。したがってそれを考慮したW<sub>3</sub>の考えの方が良い。(11) 静水圧に対しコアと下流側ロックフィルの組み合わせが対抗するとの通常のW<sub>4</sub>では図25のように過大を計算結果とをみた。コアと上流側ロックの接触面が圧縮応力にて接触している限りは上流側ロックフィルも静水圧に対し分岐するものとしたW<sub>3</sub>の計算の結果は、図25、図26、図28のように、他の条件にくらべ、総合的に実測値もよく説明できる。(12) 築堤中と湛水中の変形の比較は図27に示す。築堤中が圧倒的に大きい。応力の比較は図29に示す。上流側ロックフィルは側方拘束圧が湛水中に消滅し、あまり変位が十分でない状態にて存在している。一般にこの傾向がどのロックフィルダムでも認めらる。(13) 地震時の挙動に関しては従来、二次元的な検討が内外でいくつか見られるが、三次元的な拘束も考えると如何に異なるかについて、筆者らは検討を試みた。

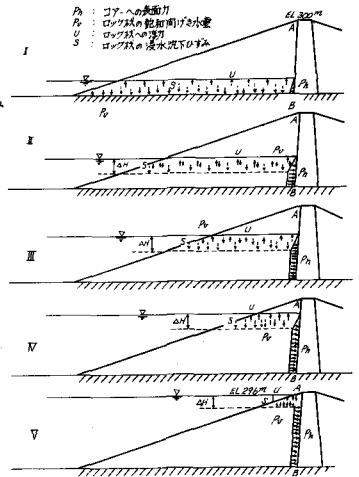


図23 逐次湛水の荷重

手法は立体有限要素網とモード解析法を結合し、さらにつきのように粘性係数 $\gamma$ も各有限要素に導入した。動応力 $\sigma_d$ と動歪 $\epsilon_d$ として

$$\sigma = E_d \epsilon + \gamma \frac{d\epsilon}{dt} = \sigma_c + \sigma_d$$

$$\sigma_d = \gamma \frac{d\epsilon}{dt} = \lambda \frac{E_d(1-\nu)}{(1+\nu)(1-2\nu)} \frac{d\epsilon}{dt}$$

と置き、仮想仕事の原理を用いる

表1 湛水中の4ケースの計算の条件

条 目	除荷の変 形係数を 考慮○ ×	湛水時の 浸水沈下 ひずみを 考慮○ ×	静水圧に対 し上流側ロ ック部も抵 抗体として 考慮○ ×
W1	×	×	○
W2	○	×	○
W3	○	○	○ (ただし上 部20% は分離)
W4	○	○	×

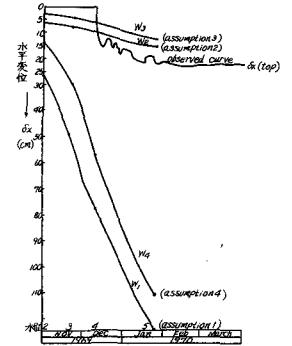


図25 湛水時の水平変位の計算値と実測値(堤頂)

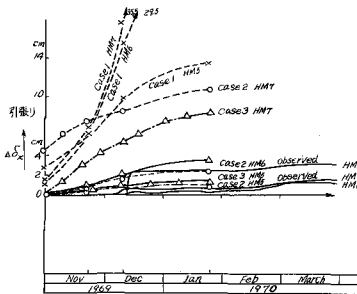


図26 湛水時の斜面の水平変位の計算と実測

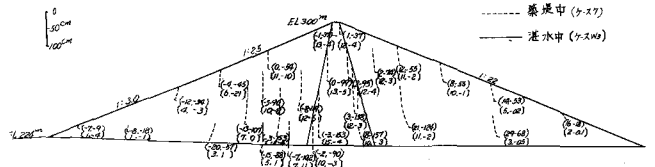


図27 築堤中と湛水中の変位の比較

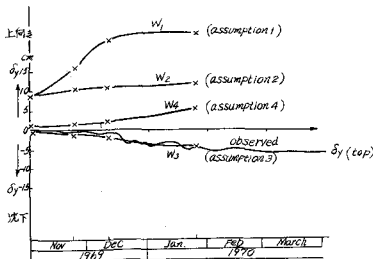


図28 湛水時の堤頂の鉛直変位の計算と実測

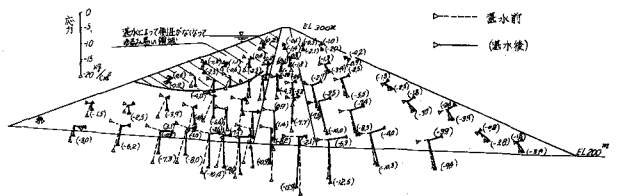


図29 湛水前と湛水後の応力の比較

節点力 $f^e$ と節点変位 $\delta^e$ に關し、要素剛性 $ke$ を介し、

$$f^e = ke \delta^e + \lambda ke \frac{d\delta^e}{dt}$$

となり、 $\lambda ke$ を減衰行列 $[C]^e$ としてこれを物性試験値 $\lambda$ より求めた。元々次ベクトル $y_n$ で規準減衰 $C_n = \{y_n\}^T [C] \{y_n\}$

より、元々次固有振動数 $\omega_n$ での減衰定数 $\gamma_n = C_n / 2\omega_n M_n$ を規準質量 $M_n$ を介して求めた。前述の動的弾性率 $E$ や粘性

係数 $\eta$ の分布から、図30のモデルの一次固有周期は三次元拘束状態で0.33秒、二次元で0.47秒、(A,B)は、 $\eta$ は $120 \frac{kg}{cm^2}$ と低く用いた減衰定数は8%、二次元で5%であった。 $\eta$ は $120 \sim 240 \frac{kg}{cm^2}$ を分布させ、図34のモデルの場合には、上下流方向

の一次モード(図2)は $\gamma_1 = 12\%$ 、 $T_1 = 0.64$ 秒、堤軸方向の二次モード(図4)に対し $\gamma_2 = 13\%$ 、 $T_2 = 0.57$ 秒となった。従来、減衰定数 $\gamma_n$ を仮定していたが、このように動的三軸試験より $\eta$ を求めると少しは合理的な地震時定足補正法に近づくものと思ふ。

(19) 地震時の挙動は二次元よりは三次元の場合、応力変位はかきり小さい(図32, 35, 36)。堤頂加速度は拘束の良みにや、大3. (図2)。堤軸方向地震時応力は翼部接岩部に偏り(図30)以上

参考文献

- 1) 門脇 登太郎, 大長 昭雄 "喜渡山ロックフィルダムの設計とその特殊挿材" 発電水力 No. 98, 1969
- 2) 林 正文 "ロックフィルダム築造中の透水中の内部挙動(解析と実測の比較) 電力中研報告 No. 70012, 1971
- 3) 林 正文, 藤原 義一 "運次破壊現象についての斜面の安定解析" 土木学会論文集 171号 1969

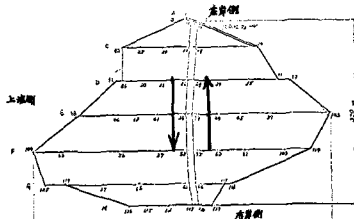


図34 立体震動(堤軸方向)モデル

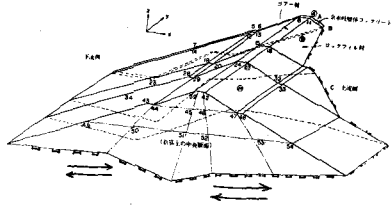


図30 立体震動(上下流方向)モデル

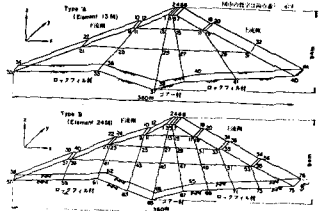


図31 ロックフィルダム2個の2次元震動モデル

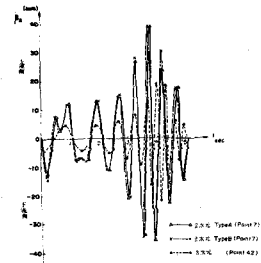


図32 ダム中央部天端の変位応答履歴(上下流方向)

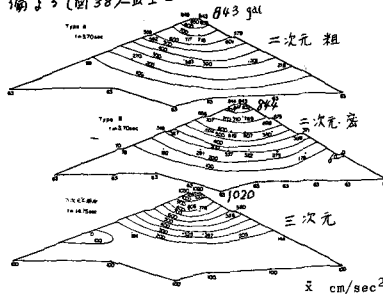


図33 ロックフィルダム2次元・3次元震動解析の加速度分布の比較

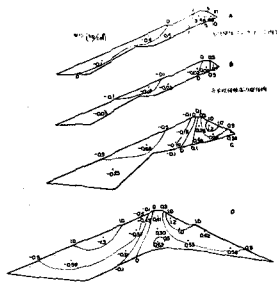


図35 ロックフィルダム立体振動解析最大振幅時(t=14.15sec)の応力分布図  
 $\sigma_x$  (上下流方向の水平応力)  $kg/cm^2$   
 + 引張応力  
 - 圧縮応力

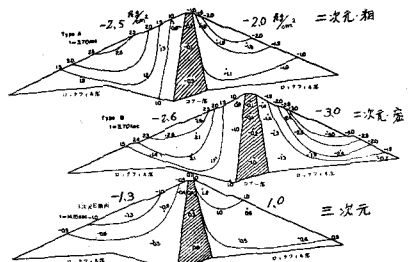


図36 ロックフィルダム2次元・3次元震動解析の比較最大振幅時における応力分布(上下流水平方向) $\sigma_x$  単位 $kg/cm^2$

# Static and Dynamic Properties of Rock Fill Material, and Relation between Numerical Analysis and Observation

— Banking, Reservoiring and Earthquake —

[ Central Research Institute of Electric Power Industry, Abiko City, Chiba Pref.]

O Masao HAYASHI, Yoshiyazu FUJIWARA and Hiroya KOMADA

Summary: Relation among the static and dynamic triaxial test, non-linear stress-strain curve, initial strain due to submerging settlement, dynamic viscosity of rock fill material, and spacial dynamic responses is described. This paper discusses some important phenomena as horizontal displacement, change of void ratio during banking, submerging settlement and stress strain relation in unloading stage in reservoiring, and evaluation of viscous damping derived from the dynamic stress-strain relationship in spacial dynamic response during earthquake.

(25th Dec. 1971)

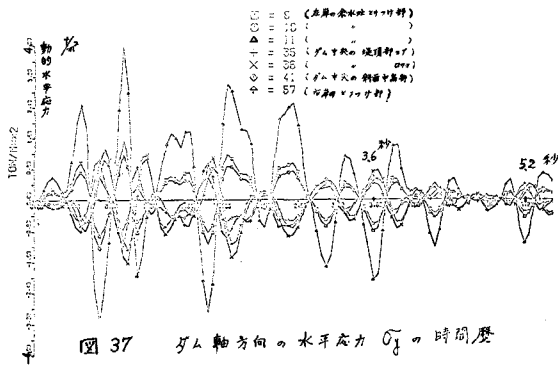


図 37  $\gamma$  軸方向の水平応力  $\sigma_y$  の時間歴

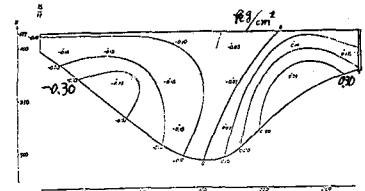


図 38  $\gamma$  軸方向地震時の応力  $\sigma_y$

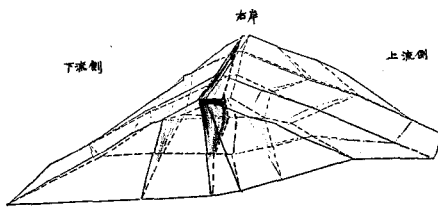


図 39 一次モード (上下方向のせん断振動)

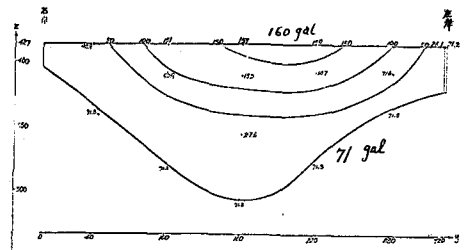


図 40  $\gamma$  軸方向地震時の加速度分布  $\sigma_y$

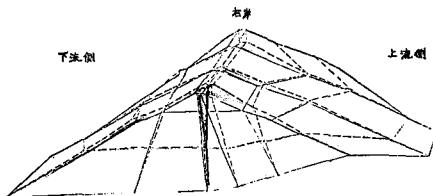


図 41 二次モード (捻回方向の振動)

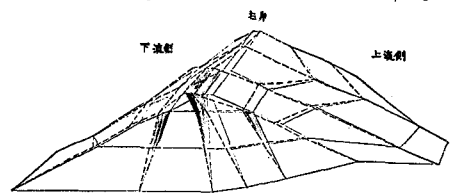


図 42 三次モード (曲げ振動)